

الله اعلم



دانشگاه تبریز  
دانشکده علوم طبیعی

گروه علوم جانوری

پایان نامه جهت دریافت مدرک کارشناسی ارشد در رشته بیوشیمی

عنوان:

ستتر کمپلکس فلزی با کرستین و بررسی تغییرات بیوشیمیایی و میانکنش آن با DNA

اساتید راهنما:

دکتر محمد علی حسینپور فیضی

دکتر غلامرضا دهقان

استاد مشاور:

دکتر میرقاسم حسینی

پژوهشگر:

فاطمه خواجوند فیروز

تیرماه ۱۳۹۱

... می کویند که ما همه کوزه سعالین یک استادیم و مظروفان باده (نخست من روحی)، همه در یک جاده مستقیم و رو به یک چهره عاشقیم، این است راز عالم ...

بارالها! در این میانه جردهای برگرفته ای بقدر نظر خوش، کوشیدم تا تو را باز شناسم از میان هر آنچه کرد اگر دم را فراگرفته است.

حالی که می دانم هر دم در چهره ای رخ می نمایی و به جامده ای دمی آمی و من به همان چهره عشق می ورزم و همان جامد برتن احساس می کشم ...

من در آینه شفاف کتاب

در شبستان دلم  
کنج محراب دعا

بارالها! به تو گند ترا می نینم

به پاس تعبیر عظیم و انسانی شان از کلمه ایثار و از خود کذبگشتنی

به پاس عاطفه سرشار و کرمای امید بخش وجود شان که در این سرددترین روزگاران بهترین پشتیان

است

به پاس قلب هایی بزرگشان که فریادرس است و سرگردانی و ترس در پنهانشان به شجاعت می کراید

و به پاس محبت هایی بی دینشان که هرگز فروکش نمی کند

پدر مهربانم

و

مادر صبورم

باشد که جهراًن زحمات این دو فرشته کردد...

سپاس خدای را که سخنواران، در ستودن او بمانند و شمارندگان، شمردن نعمت های اوندانند و کوشندگان، حق او را گزاردن نتوانند. پروردگار بخشنده را سپاسگزارم که در سایه بزرگی و مهربانی اش توانستم مرحله دیگری از زندگی خود را به پایان رسانم.

بدون شک تجلیل از معلم، سپاس از انسانی است که هدف و غایت آفرینش را تامین و سلامت امانت‌هایی را که به دستش سپره‌اند، تضمین می‌کند؛

از استاد بزرگوارم جناب آقای دکتر محمد علی حسینپور فیضی که افتخار شاگردی ایشان را داشتم و امکان انجام تحقیق حاضر را فراهم نمودند و همواره با کلام و دعای خود موجب دلگرمی و اطمینان خاطر من بودند، کمال تشکر و قدردانی را می‌نمایم.

از استاد بزرگوارم جناب آقای دکتر غلامرضا دهقان به خاطر کمک‌ها، راهنمایی‌ها و حضور همیشگی ایشان در طی مراحل کار و به خاطر صبر و آرامشی که همواره از وجود ایشان دریافت می‌کردم با نهایت احترام و از صمیم قلب کمال انتنان و تشکر را دارم.

از جناب آقای دکتر میر قاسم حسینی، استاد مشاور، که از راهنمایی بی‌دریغشان در این رساله بسیار استفاده نمودم، کمال تشکر و قدرانی را دارم.

فرصت را غنیمت می‌شمaram و از استاد بزرگوارم جناب آقای میر لطیف موسوی گرگری و دکتر علی محمد احدی (استاد دوره کارشناسی-دانشگاه شاهد) که در کنار علم، اخلاق را به من آموختند کمال سپاس و قدردانی را دارم از دوست مهربان و صبورم، خانم میترا آروین، که حق استادی را به گردن این جانب دارند نهایت تشکر و قدرانی را دارم

از جناب آقای احذازده و همکارانشان و همچنین سرکار خانم زمانی که در مراحل انجام این پایان نامه از هیچ لطفی فروگذار نکردند، کمال تشکر و قدرانی را دارم.

از تمامی همآزمایشگاهی‌های عزیزم به خاطر تمام همدلی‌ها و همراهی‌های صمیمانه‌شان در تمام لحظات سخت و شیرین این مدت از صمیم قلب تشکر و سپاسگزاری می‌نمایم.

از همه‌ی دوستان عزیز مخانم‌ها عالمی، فلاح، دوست زاده، ارجمندمنش، اژدردل، کارگر، نعمتی، دستور، بیزان خواه، قنبروند، کمالی، مفترن، صفارو آقای رهنما نهایت تشکر را به خاطر تمام مهربانی هایشان دارم.

از تمامی دوستانم چه آنان که با حضورشان و چه آنان که با دعای گرمشان همواره موجب دلگرمی و امید اینجانب می‌شدند کمال تشکر و قدرانی را دارم

و در نهایت از کادر اداری و آموزشی دانشکده علوم طبیعی و همچنین از آقای اژدردوست تشکر ویژه می‌نمایم.

فاطمه خواجه‌نژاد فیروز

تیرماه ۱۳۹۱

به امید اینکه

این رساله

قدم کوچکی باشد

برای پیشرفت عظیم میهن ام

ایران...

نام خانوادگی: خواجوند فیروز	نام: فاطمه
عنوان پایان نامه: ستز کمپلکس فلزی با کرستین و بررسی تغییرات بیوشیمیابی و میانکنش آن با DNA	
اساتید راهنمای: دکتر محمد علی حسینپور فیضی، دکتر غلامرضا دهقان	استاد مشاور: دکتر میر باقر حسینی
دانشگاه: تبریز	قطع تحصیلی: کارشناسی ارشد
تاریخ فارغ التحصیلی: ۹۱/۶/۳۱	دانشکده: علوم طبیعی
تعداد صفحه:	گرایش: بیوشیمی
واژه های کلیدی: DNA تیموس گاوی؛ آنتی اکسیدان؛ کمپلکس های کرستین-بیسموت؛ برهمکنش؛ اتصال به سطوح خارجی.	رشته: زیست شناسی
چکیده:	
<p>در سال های اخیر تحقیقات بسیاری بر روی برهمکنش مولکول های کوچک با DNA متمرکز شده است. DNA معمولاً اولین هدف داخل سلولی داروهای ضد سرطان می باشد، بنابراین برهمکنش بین مولکول های کوچک و DNA می تواند منجر به آسیب در سلول های سرطانی و توقف تقسیم سلول های سرطانی و در نتیجه مرگ سلولی شود. فلاونوئیدها گروه بزرگی از ترکیبات پلی فنولی طبیعی هستند که به طور گسترده در گیاهان عالی توزیع شده اند. کرستین (۳'، ۴'، ۵ و ۷ پنتا هیدروکسی فلاون) یک آنتی اکسیدان هیدروکسیله قوی و یک فلاونوئید عمده در رژیم غذایی است که شایع ترین ترکیب فلاونوئیدی موجود در طبیعت نیز محسوب می شود. این ترکیب به طور کلی در بسیاری از غذاهای رایج از جمله سیب، چای، پیاز، آجیل، گل کلم و کلم یافت می شود. فعالیت های بیولوژیک کرستین در حضور یون های فلزی تحت تأثیر قرار می گیرد. گروه های اکسو و هیدروکسی موجود در ساختار کرستین دارای توانایی تشکیل کمپلکس با کاتیون های مثبت مختلف و تولید ترکیبات پایدار هستند. در این مطالعه کمپلکس های کرستین با یون های بیسموت (III) ستز شده و با استفاده از روش های طیف سنجی مورد شناسایی و بررسی قرار گرفته است. سپس فعالیت آنتی اکسیدانی این کمپلکس با استفاده از روش های پاکسازی رادیکال های DPPH</p>	

فعالیت کاهنده‌گی یون‌های فریک (FRAP) و سنجش ABTS مورد ارزیابی قرار گرفت. همچنین برهم‌کنش دو کمپلکس کرستین-بیسموت(III) و کمپلکس کرستین-قلع(II) با DNA تیموس گاوی با استفاده از طیف سنجی ماوراءبنفس-مرئی، امپدانس، فلورومتری و ویسکوزیته متري مورد بررسی قرار گرفت.

نتایج هر سه روش FRAP و DPPH ABTS نشان می‌دهد که فعالیت آنتی اکسیدانی کمپلکس در مقایسه با کرستین به میزان اندکی کاهش یافته است. از آنجاییکه فعالیت آنتی اکسیدانی فلاونوئیدها به تعداد و محل گروه‌های هیدروکسیل در ساختار آنها وابسته است، نتایج بیان کننده جایگزینی یون‌های فلزی بیسموت (III) با گروه‌های هیدروکسیل در ساختار کرستین می‌باشد که در نتیجه توانایی هیدروژن دهنده‌گی کمپلکس‌ها در مقایسه با کرستین تنها کمتر می‌شود.

طیف جذبی کمپلکس کرستین-قلع(II) با اضافه کردن DNA افزایش جذب(هاپرکرومیسم) را نشان داد و ثابت اتصال  $10 \times 5$  بدست آمد که با ثابت اتصال بدست آمده از فلورسانس دریک محدوده است( $10 \times 8$ ) است. ویسکوزیته DNA با افزایش غلظت کمپلکس افزایش نشان داد.

هایپرکرومیسم در طیف جذبی ماوراءبنفس-مرئی و افزایش شدت فلورسانس در طیف کمپلکس کرستین-بیسموت(III) در حضور DNA حاصل شد و ثابت اتصال کمپلکس مقدار پایینی بدست آمد( $10^0$ ). ویسکوزیته DNA به همراه افزایش غلظت کمپلکس افزایش یافت.

نتایج داده‌ها نشان داده است که شیوه‌ی اتصال هر دو کمپلکس به DNA، غیردرج شونده و اتصال به سطح DNA است و برهم‌کنش هر دو کمپلکس با DNA احتمالاً از طریق گروه‌های فسفات حضور یافته در اسکلت DNA است.

## فصل اول

بررسی منابع ..... ۱
۱-۱-۱-فلاؤنوئیدها ..... ۱
۱-۱-۱-۱-ساختار و ویژگی طیف سنجی فلاؤنوئیدها ..... ۱
۳-۱-۲-کمپلکس‌های فلزی فلاؤنوئیدها ..... ۱
۴-۱-۲-۱-فعالیت زیستی کمپلکس‌های فلاؤنوئید-فلز: شلاته کردن فلز به عنوان آنتی اکسیدان ..... ۱
۶-۱-۳-کرستین ..... ۱
۶-۳-۱-ساختمان DNA ..... ۱
۸-۱-۳-۱-نیروهای پایدار کننده ساختمان دوم DNA ..... ۱
۹-۱-۴-پلی مورفیسم ساختار DNA دو رشته ای ..... ۱
۱۲-۱-۵-ویژگی‌های کلی میان کنش دارو با DNA ..... ۱
۱۴-۱-۵-۱-اتصال از نوع درج شونده ..... ۱
۱۵-۱-۵-۲-درج شونده‌های ساده ..... ۱
۱۶-۱-۵-۳-درج شونده‌های پیچید ..... ۱
۱۹-۱-۵-۴-درج شونده‌ها به شکاف ..... ۱
۲۰-۱-۵-۵-درج شونده‌ها به شکاف بزرگ ..... ۱
۲۲-۱-۶-مولکول‌های متصل شونده به شکاف ..... ۱
۲۵-۱-۷-روشهای تحلیلی برهم کنش مولکولهای کوچک با DNA ..... ۱
۲۵-۱-۷-۱-طیف سنجی مرئی - فرابینفس ..... ۱
۲۶-۱-۷-۲-طیف سنجی فلور سانس ..... ۱
۲۷-۱-۷-۳-ویسکوزیته ..... ۱

۲۷.....	۱-۴-۷-۴-طیف سنجی امپدانس
۲۸.....	۱-۴-۷-۱-قانون اهم- مقاومت
۳۰.....	۱-۴-۷-۲-روشهای نمایش امپدانس
۳۲.....	۱-۴-۷-۳-کاربرد امپدانس در زیست شناسی
۳۳.....	۱-۸-۱-هدف از این مطالعه
	فصل دوم : مواد و روش ها
۳۷.....	۲-مواد و روشها
۳۷.....	۲-۱-مواد مورد استفاده
۳۸.....	۲-۲-دستگاههای مورد استفاده
۳۸.....	۲-۳-تهیه بافر تریس
۳۹.....	۲-۴-تهیه محلول DNA
۴۰.....	۲-۵-ستز کمپلکس کرستین-بیسموت (III)
۴۱.....	۲-۶-۱-تعیین استوکیومتری بین لیگاند و فلز
۴۲.....	۲-۶-۲-مطالعات آنتی اکسیدانی
۴۲.....	۲-۶-۱-۱-روش رادیکال زدایی DPPH
۴۳.....	۲-۶-۱-۱-۱-۱-تهیه محلول DPPH
۴۳.....	۲-۶-۱-۱-۱-۲-روشن کار
۴۴.....	۲-۶-۲-۱-سنجش قدرت آنتی اکسیدانی به روشن FRAP
۴۴.....	۲-۶-۲-۱-۱-تهیه محلول FRAP
۴۵.....	۲-۶-۲-۲-آماده سازی محلول FRAP
۴۵.....	۲-۶-۲-۳-روشن کار
۴۶.....	۲-۶-۳-روشن آنتی اکسیدانی ABTS

۴۶.....	۱-۳-۶-۲-تهیه محلول ...
۴۷.....	۲-۳-۶-۲-روش کار .....
۴۷.....	۷-۲-بررسی بر هم کنش بین کمپلکس فلزی و DNA .....
۴۷.....	۱-۷-۲-مطالعات طیف سنجی ماوراء بنفس -مرئی(UV-VISABLE) .....
۴۸.....	۲-۷-۲-طیف سنجی فلورسانس .....
۴۸.....	۳-۷-۲-اندازه گیری ویسکوزیته .....
۴۹.....	۱-۳-۷-۲-ویسکومتر موئی اولسوالد .....
۵۰.....	۲-۷-۲-اسپکتروسکوپی امپدانس .....
۵۱.....	۱-۴-۷-۲-تهیه الکترود تغییر یافته با DNA .....
۵۱.....	۲-۴-۷-۲-میانکنش الکترود تغییر یافته با DNA و هریک از کمپلکسها .....

## فصل سوم

۵۴.....	۱-۳-تشکیل کمپلکس بین کرستین و فلز بیسموت .....
۵۴.....	۳-۱-۱-طیف سنجی ماوراء بنفس -مرئی(UV- VISABLE) .....
۵۶.....	۳-۱-۲-۱-استوکیومتری بین فلز و لیگاند(Job`s method) .....
۵۷.....	۳-۱-۱-۳-بررسی تشکیل کمپلکس به روش طیف سنجی مادون قرمز .....
۵۹.....	۳-۱-۳-مطالعه طیف رزونانس معناطیسی هسته ای .....
۶۰.....	۲-۳-مطالعه آنتی اکسیدانی کرستین و کمپلکس Q-BI .....
۶۰.....	۱-۲-۳-فعالیت آنتی اکسیدانی کرستین و کمپلکس Q-BI به روش پاکسازی رادیکال DPPH .....
۶۲.....	۲-۲-۳-سنجدش فعالیت آنتی اکسیدانی کرستین و کمپلکس به روش FRAP .....
۶۴.....	۲-۲-۳-سنجدش فعالیت آنتی اکسیدانی کرستین و کمپلکس به روش ABTS .....
۶۶.....	۳-۳-مطالعه بر هم کنش بین کمپلکس و DNA .....
۶۶.....	۱-۳-۳-طیف سنجی مرئی-فرابنفش .....

۱-۳-۱- اثر DNA بر روی طیف اشعه ماوراء بنفش- مرئی کمپلکس کرستین- بیسموت (III) و کرستین- قلع (II).....	۶۸
۲-۱-۳-۳- بررسی تغییرات طیف جذبی DNA .....	۷۱
۱-۳-۲-۱-۳-۳- بررسی تغییرات طیف جذبی DNA در حضور کمپلکس کرستین- قلع (II).....	۷۲
۲-۱-۳-۳- بررسی تغییرات طیف جذبی DNA در حضور کمپلکس کرستین- بیسموت (III).....	۷۳
۲-۳-۳- طیف سنجی فلورسانس .....	۷۳
۱-۳-۲-۳-۳- مطالعه برهمکنش بین DNA کمپلکس کرستین- قلع (II) با روش فلورسانس مستقیم .....	۷۴
۲-۳-۳- مطالعه برهمکنش بین DNA و کمپلکس کرستین- بیسموت (III) با روش فلورسانس مستقیم .....	۷۷
۳-۳-۳- اندازه گیری ویسکوزیته .....	۸۰
۳-۳-۴- مطالعات الکتروشیمی امپدانس .....	۸۲
۳-۴- نتیجه گیری .....	۸۷
۳-۵- پیشنهادات .....	۹۱
۳- منابع .....	۹۲

## فهرست اشکال و جداول

## صفحه

## شماره

۱-۱- ساختار فلاونوئیدها.....	۲
۱-۲- ساختار کرستین.....	۶
۱-۳- نحوه اتصال نوکلئوتیدها به یکدیگر (A=T) و (C≡G) .....	۷
۱-۴- شکل آرایش فشرده و مارپیچ تصادفی پلی نوکلوتیدهای تک رشته ای .....	۸

شکل ۱-۵- تمام زوایای موجود در یک واحد نوکلوتیدی از زنجیره پلی نوکلئوتید. چرخش این زوایا به نوبه‌ی خود بر پلی مورفیسم DNA اثر میگذارد.....	۱۱
شکل ۱-۶- مقایسه BI و BII CONFORMATION.....	۱۱
شکل ۱-۷- مولکول پروفلاوین که بر روی یک جفت باز قرار گرفته است .....	۱۴
شکل ۱-۸- درج شدگی یک مولکول داروی مسطح به DNA.....	۱۵
شکل ۱-۹- درج شونده‌های ساده (پروفلاوین-اتیدیوم-دائونورومیسین و آدریامایسین).....	۱۷
شکل ۱-۱۰- قرار گرفتن یون منیزیم هیدراته در شکاف بزرگ.....	۱۷
شکل ۱-۱۱- درج شونده‌های پیچیده (داروی ضد سرطان دائونومایسین) .....	۱۸
شکل ۱-۱۲- درج شونده‌های پیچیده (اکتینومایسین D) .....	۱۸
شکل ۱-۱۳- درج شونده‌ها به شکاف بزرگ (ساختمان داروی ضد سرطان آکریدین DACA).....	۲۰
شکل ۱-۱۴- درج شونده‌ها به شکاف بزرگ (ساختمان کریستالی کمپلکسی بین ۹-آمینو تووالی (DNA از D(CGTACG) ).....	۲۱
شکل ۱-۱۵- درج شونده‌های دوتایی.....	۲۲
شکل ۱-۱۶- بعضی مولکولهای متصل شونده به شکاف‌ها .....	۲۳
شکل ۱-۱۷- ساختمان کریستالی کمپلکسی بین HOECHST33258 و دو رشته‌ای D(CGCAAATTGCG) .....	۲۴
شکل ۱-۱۸- نمایش سطح دو رشته‌ای DNA دیکرسون - درو با نمایش شکاف کوچک.....	۲۵
شکل ۱-۱۹- انتقالات رخ داده در طی جذب و نشر فلورسانس.....	۲۷
شکل ۱-۲۰- شکل نمادین واکنشهایی که در سطح الکترود با گونه‌های اکسیدو احیا در محلول انجام می‌شوند.....	۳۰

..... ۳۱	..... شکل ۱-۲۱-نموار نایکویست
..... ۳۱	..... شکل ۱-۲۲-نمودار سل رندر
..... ۴۳	..... شکل ۲-۱-مسیر تغییر قدرت آنتی اکسیدان کرستین با رادیکال DPPH
..... ۵۰	..... شکل ۲-۲-ویسکومتر موئینه اوسوالد
..... ۵۲	. شکل - ۳-۲-تصویر الکترود که بر روی آن لایه ای از DNA پوشانده شده است را نشان میدهد.
..... ۵۶	..... شکل ۳-۱-طیف ماوراء بنفش-مرئی کرستین ( $10^{-5}$ مولار) و غلظت های مختلف از کاتیون بیسموت
..... ۵۹	..... شکل ۳-۲-نمودار کسر مولی کرستین در طول موج ۴۳۰ نانومتر
..... ۶۱	..... شکل ۳-۳-طیف IR کرستین (A) و کمپلکس کرستین- بیسموت (III) (B)
..... ۶۲	..... شکل ۳-۴- درصد فعالیت پاکسازی رادیکالهای DPPH کرستین و کمپلکس کرستین - بیسموت (III)
..... ۶۳	..... در غلظتها م مختلف
..... ۶۵	..... شکل ۳-۵- ساختار شکل گرفته بین TPTZ و یون های آهن در معرف FRAP و کاهش یونهای آهن در حضور مولکول آنتی اکسیدان
..... ۶۵	..... شکل ۳-۶- نمودار استاندارد FRAP به منظور تعیین ارزش FRAP با استفاده از محلولهای استاندارد سولفات آهن II
..... ۶۵	..... شکل ۳-۷- فعالیت آنتی اکسیدانی غلظتها م مختلف کرستین و کمپلکس کرستین- بیسموت (III) در روش FRAP، مقادیر بر حسب ارزش FRAP بیان شده اند
..... ۶۵	..... شکل ۳-۸- درصد پاکسازی رادیکالهای آزاد ABTS توسط کرستین و کمپلکس کرستین - بیسموت (III) پس از گذشت ۵ دقیقه

- ۹-۳- طیف ماوراء بنسن - مرئی کمپلکس کرستین-بیسموت (III) در حضور غلظتهاي مختلف [CT-DNA]/[Q-BI (III) COMPLEX] تيموس گاوي  $\text{DNA} = ۶۹$
- شکل ۱۰-۳- طیف ماوراء بنسن - مرئی کمپلکس کرستین-قلع (II) در حضور غلظتهاي مختلف  $\text{DNA} = ۶۹$  [CT-DNA]/[Q-SN(II) COMPLEX] تيموس گاوي  $\text{DNA} = ۷۰$
- شکل ۱۱-۳- نمودار (EA- EB) در مقابل [DNA].  $\text{DNA} = ۷۱$
- شکل ۱۲-۳- نمودار (EA- EB) در مقابل [DNA].  $\text{DNA} = ۷۲$
- شکل ۱۳-۳- طیف ماوراء بنسن مرئی DNA تيموس گاوي در حضور افزایش غلظت کمپلکس کرستین - قلع (II)  $\text{RI} = [Q-SN(II) COMPLEX]/[DNA]$  در PH ختى،  $\text{DNA} = ۷۲$
- شکل ۱۴-۳- طیف ماوراء بنسن مرئی DNA تيموس گاوي در حضور افزایش غلظت کمپلکس کرستين - بیسموت  $\text{ri} = [Q-Bi (III) complex]/[DNA]$  در pH ختى  $\text{DNA} = ۷۲$
- شکل ۱۵-۳- طیف نشری کمپلکس کرستین-قلع با افزایش غلظت CT- DNA  $\text{DNA} = ۷۳$
- شکل ۱۶-۳- نمودار استرن-ولمر، مربوط به خاموشسازی فلورسانس کمپلکس کرستین-قلع (II) توسط خاموشکنندهي CT-DNA  $\text{DNA} = ۷۵$
- شکل ۱۷-۳- طیف نشری کمپلکس کرستین-بیسموت با افزایش غلظت ct-DNA  $\text{ct-DNA} = ۷۷$
- شکل ۱۸-۳- مقادير  $\text{LOG}[(F_0 - F)/(F - F_\infty)]$  با  $\text{LOG}[\text{DNA}]$   $\text{DNA} = ۷۹$
- شکل ۱۹-۳- نمودار تغييرات ويسکوزيته DNA با غلظت  $5 \times 10^{-5}$  مولار و PH ختى در حضور افزایش غلظت کمپلکس کرستين - قلع (II)  $[Q-SN(II) COMPLEX]/[DNA] = ۸۲$

شکل ۲۰-۳- نمودار تغییرات ویسکوزیته DNA با غلظت $5 \times 10^{-5}$ مولار و PH خشی در حضور افزایش غلظت کمپلکس کرستین-بیسموت (III) [Q-BI (III) COMPLEX]/[DNA] (۲۰/۹,۰/۷,۰ و ۱/۵,۰/۹,۰)	۸۲
شکل ۲۱-۳- طیف امپدانس الکترود پوشش داده شده با DNA	۸۴
شکل ۲۲-۳- طیف امپدانس الکترود پوشش داده شده با (II) DNA-Q-S	۸۴
شکل ۲۳-۳- طیف امپدانس الکترود پوشش داده شده با (III) DNA-Q-BI	۸۵
جدول ۳-۳- مقدار RCT از الکترود تغییر یافته در محلول $\text{Fe}(\text{CN})_6^{3-4-}$ ۱MM	۸۵
۳-۲۳- ساختارهای پیشنهادی برای کمپلکس کرستین-بیسموت	۸۷

صفحه

فهرست جدول

جدول ۲-۱- نسبت محلولها در روش جاب	۴۱
جدول ۳-۱- داده های طیف سنجی IR کرستین و کمپلکس کرستین-بیسموت (جایگاه باند در $\text{CM}^{-1}$ )	۵۹
جدول ۳-۳- جدول ۳-۳- مقدار Rct از الکترود تغییر یافته در محلول $\text{Fe}(\text{CN})_6^{3-4-}$ ۱mM	
	۷۹



# **فصل اول**

## **بررسی منابع**

## ۱- مقدمه

### ۱-۱- فلاونوئیدها

فلاونوئید هاگروه بزرگی از ترکیبات پلیفنولی هستند که به طور عمدۀ در گیاهان یافت می‌شوند. بیش از ۴۰۰ ترکیب فلاونوئیدی در گیاهان شناخته شده است<sup>[۲,۱]</sup>. ترکیبات پلیفنول دارای عملکردهای بیولوژیک بسیاری در گیاهان هستند که می‌توان به فعالیت‌های پیام رسانی، باروری و محافظت از گیاه در مقابل پرتو ماوراء بنفس و فیتوپاتوژن‌ها اشاره کرد<sup>[۳]</sup>. بسیاری از فلاونوئیدها دارای فعالیت‌های بیولوژیک مانند ضد التهابی، ضد آرثی، ضد پلاکتی، ضد هیستامین، ضد توموری و ... می‌باشند<sup>[۶-۴]</sup>. بیشتر فعالیت‌های بیولوژیک فلاونوئیدها به خصوصیت آنتی اکسیدانی آنها مربوط می‌شود<sup>[۸,۷]</sup>. فعالیت آنتی اکسیدانی از طریق محدود کردن تولید گونه‌های اکسیژن واکنش‌گر و یا پاکسازی آنها توسط فلاونوئیدها انجام می‌شود. ترکیبات فلاونوئید بخشی از رژیم غذایی جمعیت بیشماری از گیاهخواران و همه چیزخواران از جمله انسان می‌باشند<sup>[۹]</sup>. اثرات دارویی فلاونوئیدها به عملکردهای پاکسازی رادیکال‌های آزاد، کاهنده‌گی<sup>۲</sup> و شلاتوری<sup>۳</sup> فلزات و یا عملکردهای غیر آنتی اکسیدانی نسبت داده می‌شود<sup>[۱۰,۱۱]</sup>.

### ۱-۱-۱- ساختار و ویژگی طیف سنجی فلاونوئیدها

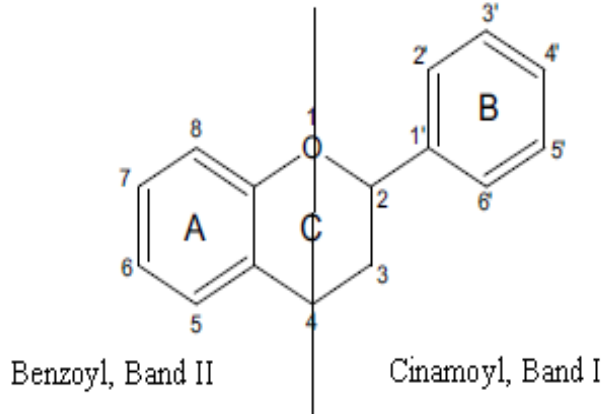
اتم‌های کربن در ملکول فلاونوئید در دو حلقه آروماتیکی A و B قرار گرفته‌اند؛ این دو حلقه توسط یک پل سه کربنی به یکدیگر متصل می‌شوند که موجب تشکیل یک ساختار دی‌فنیل-پروپان با مرکزیت

1-Reactive Oxygen Species

2- Reductant

3- Chelator

یک واحد بنزو پیرونی<sup>۱</sup> (کرومون) می شود (شکل ۱-۱). فلاونوئیدها، شدیداً اشعه ماوراء بنسخ را جذب می کنند. بنابراین طیف سنجی ماوراء بنسخ - مرئی (UV-vis) به عنوان ابزار اصلی برای آنالیز ساختاری این ترکیبات مورد استفاده قرار می گیرد. در طیف ماوراء بنسخ فلاونوئیدها دو پیک جذبی مشاهده می شود. ماکزیمم جذب مشاهده شده در دامنه بین ۳۰۰ تا ۴۰۰ نانومتر که به عنوان باند II در نظر گرفته می شود و باند جذبی دیگر بین طول موج های ۳۰۰ تا ۳۷۰ نانومتر که به عنوان باند I شناخته می شود، جذب باند II نتیجه انتقالات الکترونی  $\pi^* \rightarrow \pi$  در حلقه A سیستم بنزنی<sup>۲</sup>، در حالیکه جذب باند I نتیجه انتقالات  $\pi^* \rightarrow \pi$  در حلقه B سیستم سیناموئیل<sup>۳</sup> می باشد. وجود اکسیژن در ساختار فلاون و فلاونول ها موجب جذب در طول موج های بالاتر نسبت به سایر ساختارهای فلاونوئیدی که تعداد کمتری اکسیژن در ساختار خود دارند، می شود [۱۲، ۱۳]



شکل ۱-۱- ساختار فلاونوئیدها

1-Benzo-Y-pyrone (chromone)

2 -Benzoyl system

3 -Cinamoyl system